

Figura 102. Fotomicrografía electrónica de barrido de la variedad Te-y-101-R, mostrando las Células de la Aleurona (CA), Endospermo Periférico (EP), Gránulos de almidón del Endospermo Periférico (GA) y Cuerpos de Proteína del Endospermo Periférico (CP). Aumento 2760 X.

Figura 103. Fotomicrografía electrónica de barrido de la variedad Te-dinero, mostrando el Endocarpio (E), Células de la Aleurona (CA) y Gránulos de almidón del Endospermo Periférico (GA). Aumento 1518 X.

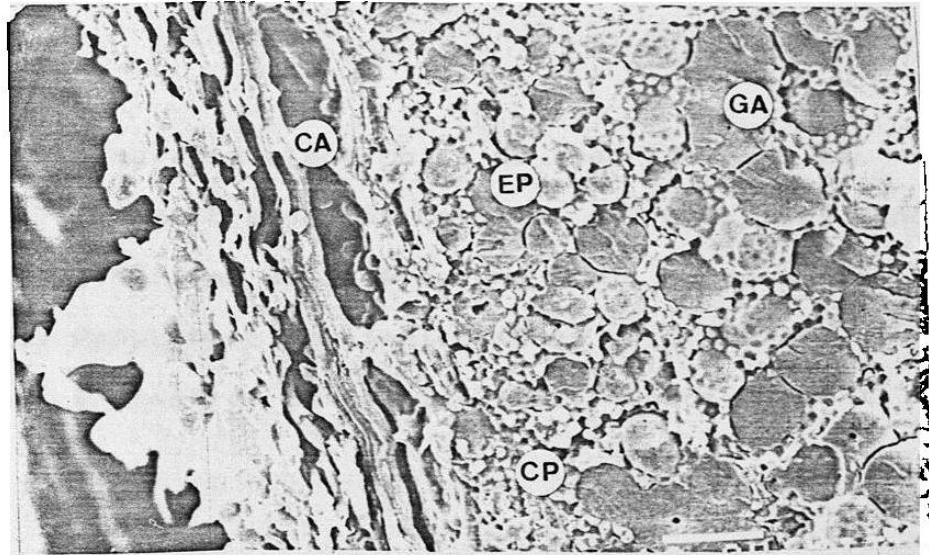


Figura 102.

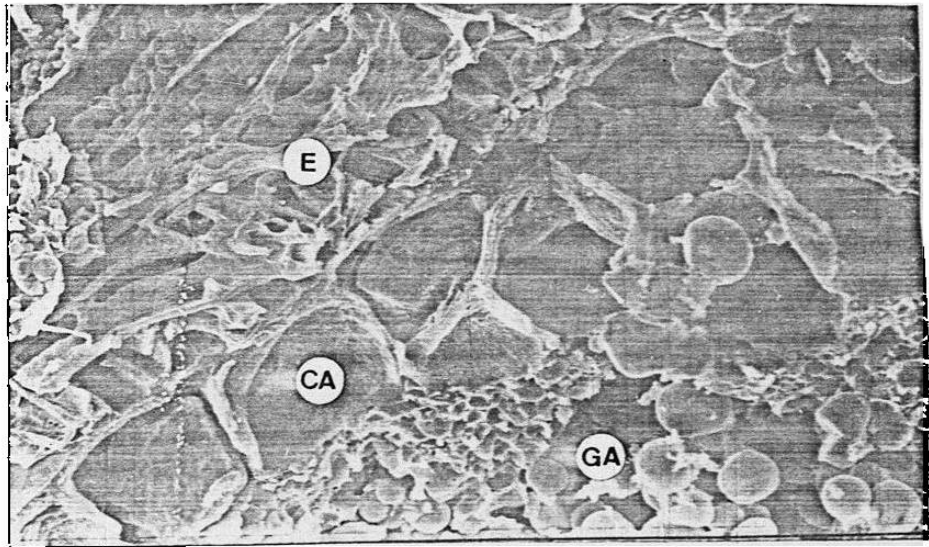


Figura 103.

Figura 104. Fotomicrografía electrónica de barrido de la variedad Gold-R, mostrando las Células de Cruz del Endocarpio (CC), Células de la Aleurona (CA), Cuerpos de Proteína del Endospermo Periférico (CP), y Gránulos de Almidón del Endospermo Periférico (GA). Aumento 2640 X.

Figura 105. Fotomicrografía electrónica de barrido de la variedad 911-R, mostrando las Células de Cruz del Endocarpio (CC), Células de la Aleurona (CA) y Cuerpos de Proteína del Endospermo Periférico (CP). Aumento 2760 X.

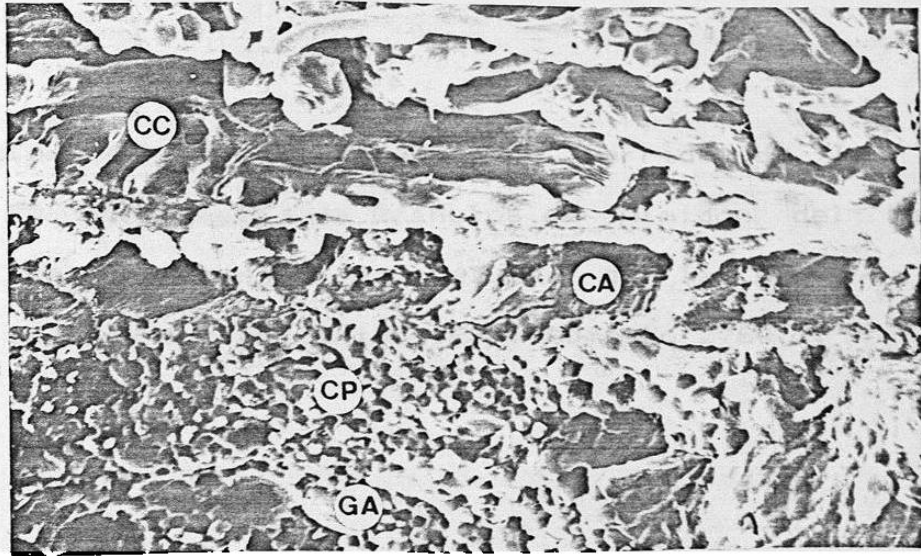


Figura 104.

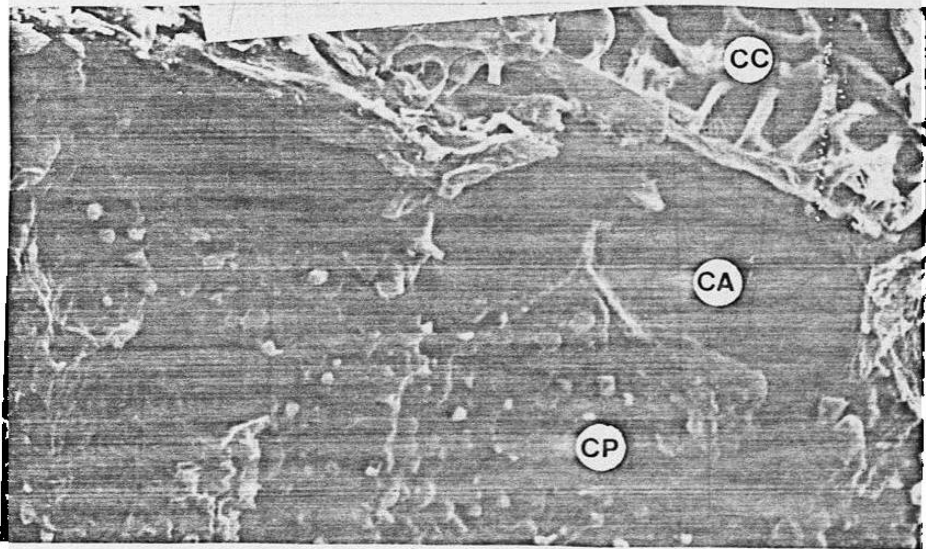


Figura 105.

Figura 106. Fotomicrografía electrónica de barrido de la variedad RB-3006, mostrando Gránulos de Almidón del Mesocarpio (GA), Endocarpio (E), Células de la Aleurona (CA) y Endospermo Periférico (EP). Aumento 2760 X.

Figura 107. Fotomicrografía electrónica de barrido de la variedad RB-3030, mostrando Gránulos de Almidón del Mesocarpio (GA), Células de la Aleurona (CA) y Endospermo Periférico (EP). Aumento 2640 X.

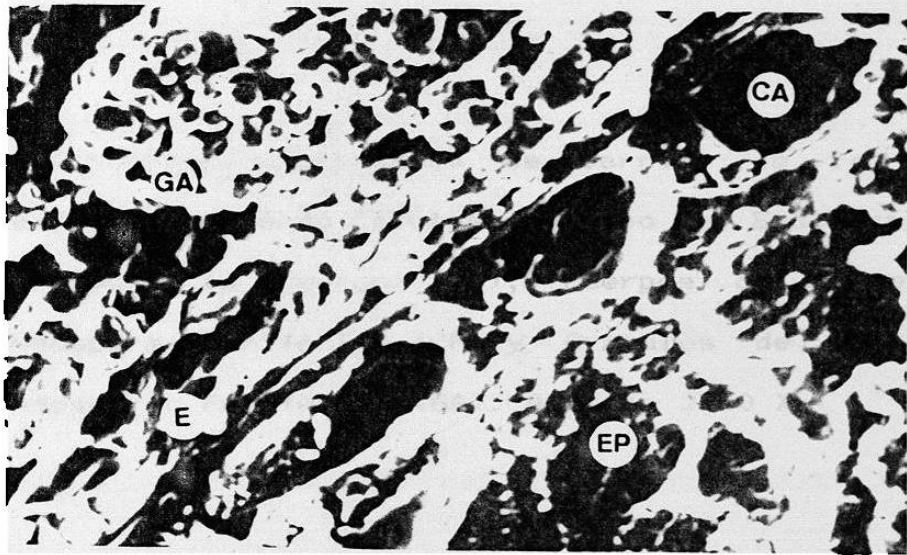


Figura 106.

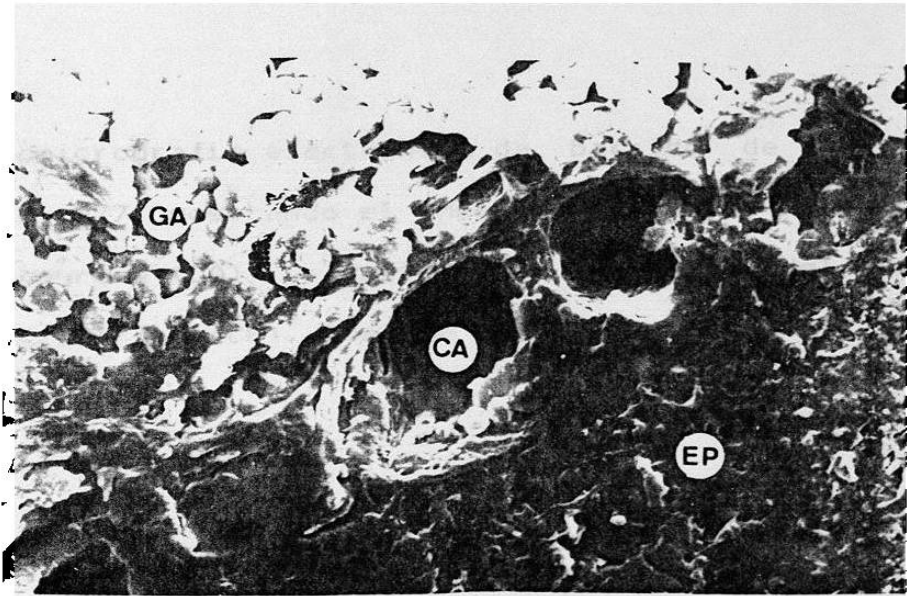


Figura 107.

Figura 108. Fotomicrografía electrónica de barrido de la variedad Te-y-75, mostrando Células del Tubo del Endocarpio (CT), Células de la Aleurona (CA), Cuerpos de Proteína del Endospermo Periférico (CP) y Gránulos de Almidón del Endospermo Periférico (GA). Aumento 2760 X.

Figura 109. Fotomicrografía electrónica de barrido de la variedad Te-y-77, mostrando el Mesocarpio (M), Células de la Aleurona (CA) y Cuerpos de Proteína del Endospermo Periférico (CP). Aumento 2760 X.

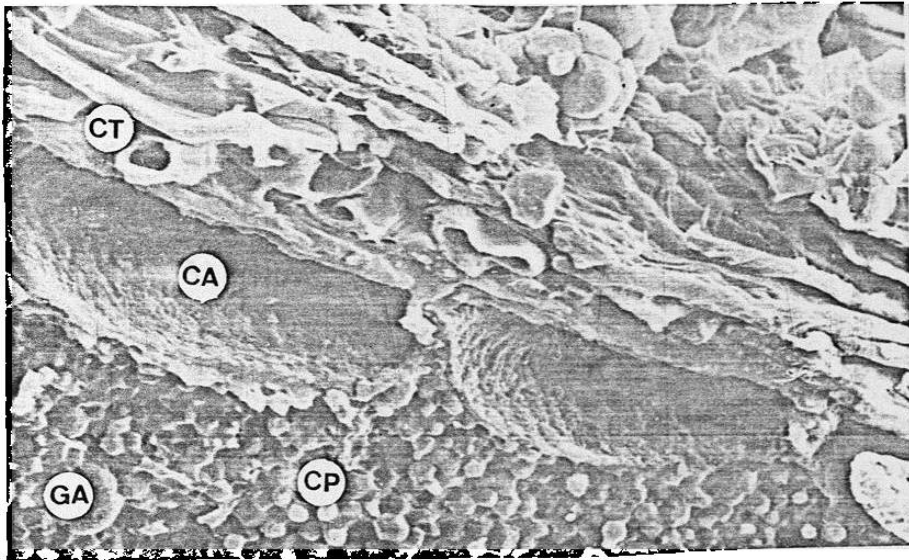


Figura 108.

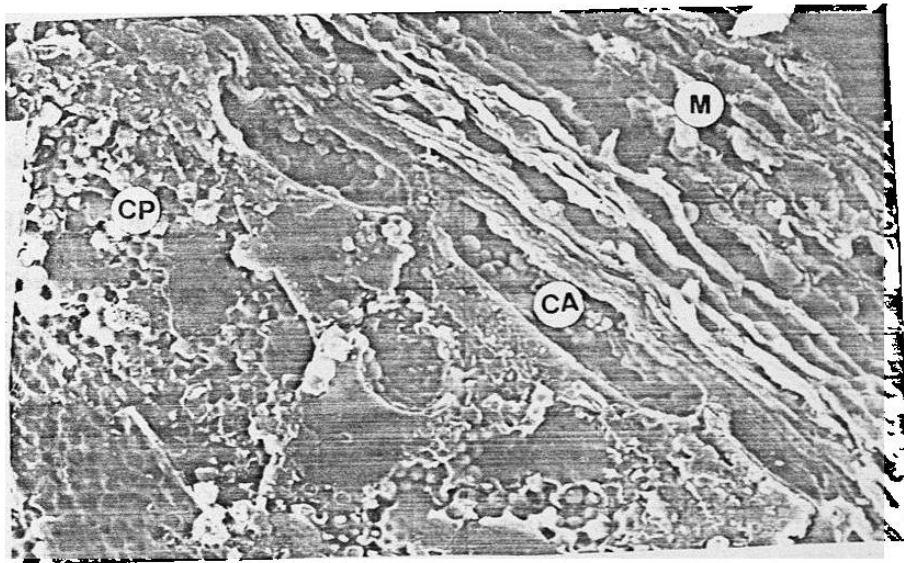


Figura 109.



Figura 110. Fotomicrografía electrónica de barrido de la variedad Victoria, mostrando Gránulos de Almidón del Endospermo Córneo (GA). Aumento 2640 X.

c

Figura 111. Fotomicrografía electrónica de barrido de la variedad BI-83, mostrando Gránulos de Almidón del Endospermo Córneo (GA), Cuerpos de Proteína del Endospermo Córneo (CP). Aumento 2640 X.

c

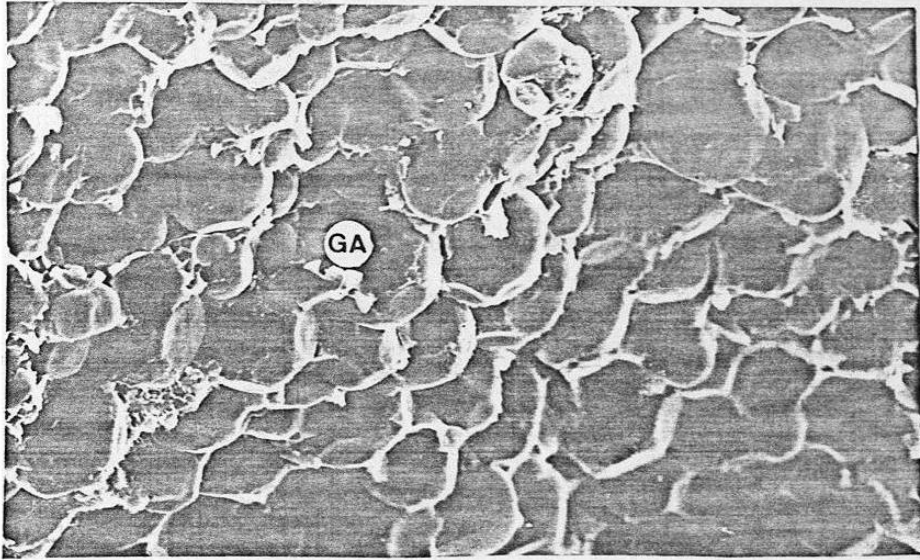


Figura 110.

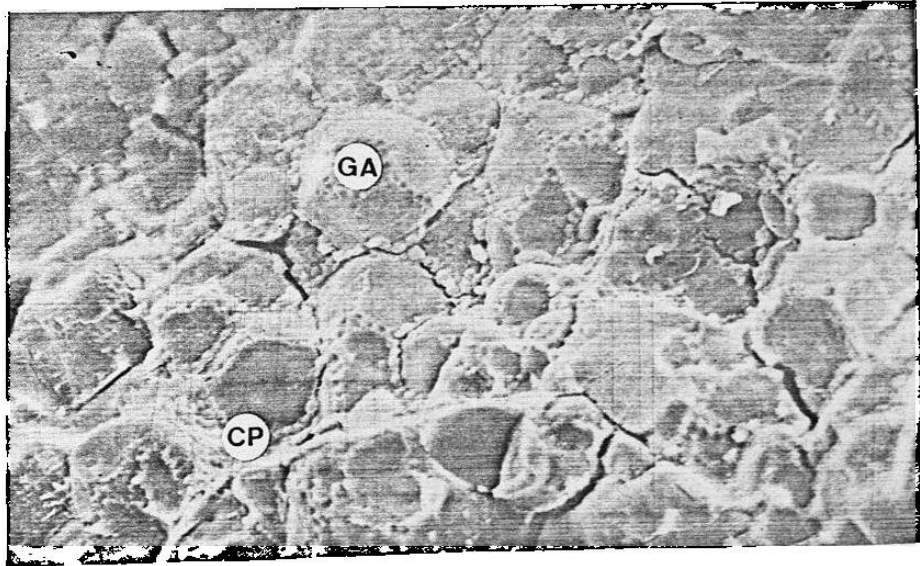


Figura 111.

Figura 112. Fotomicrografía electrónica de barrido de la variedad Te-y-101-R, mostrando Gránulos de Almidón del Endospermo Córneo (GA). Aumento 2760 X.

Figura 113. Fotomicrografía electrónica de barrido de la variedad Te-dinerc, mostrando Gránulos de Almidón del Endospermo Córneo (GA) y Cuerpos de Proteína del Endospermo Córneo (CP). Aumento 2760 X.

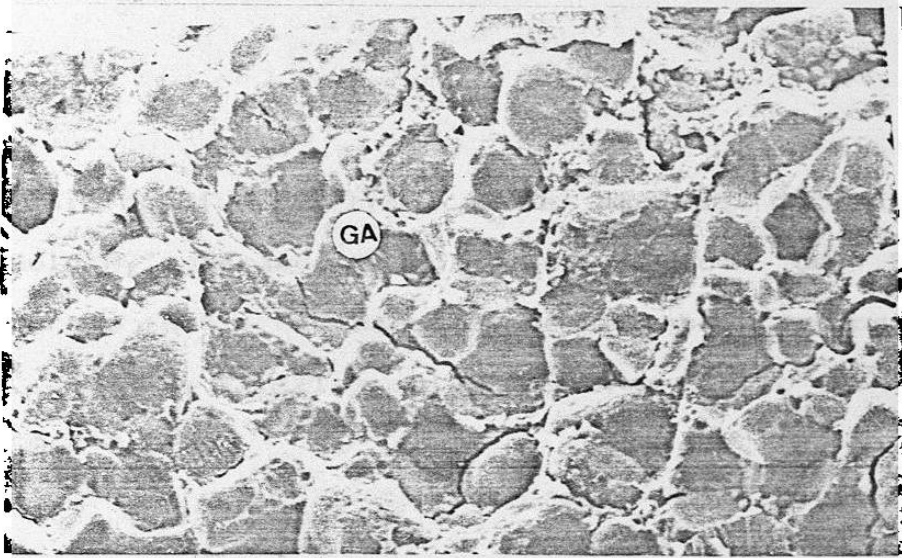


Figura 112.

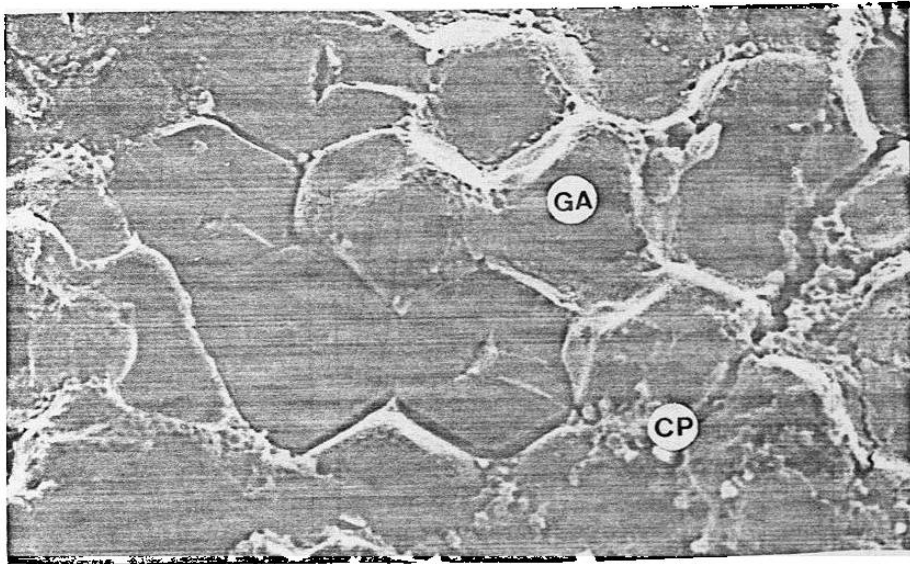


Figura 113.

Figura 114. Fotomicrografía electrónica de barrido de la variedad Gold-R, mostrando Gránulos de Almidón del Endospermo Córneo (GA) y Cavidades donde estaban incrustados los Cuerpos de Proteína del Endospermo Córneo (CCP). Aumento 3960 X.

Figura 115. Fotomicrografía electrónica de barrido de la variedad 911-R, mostrando Gránulos de Almidón del Endospermo Córneo (GA) y Cuerpos de Proteína del Endospermo Córneo (CP). Aumento 2760 X.

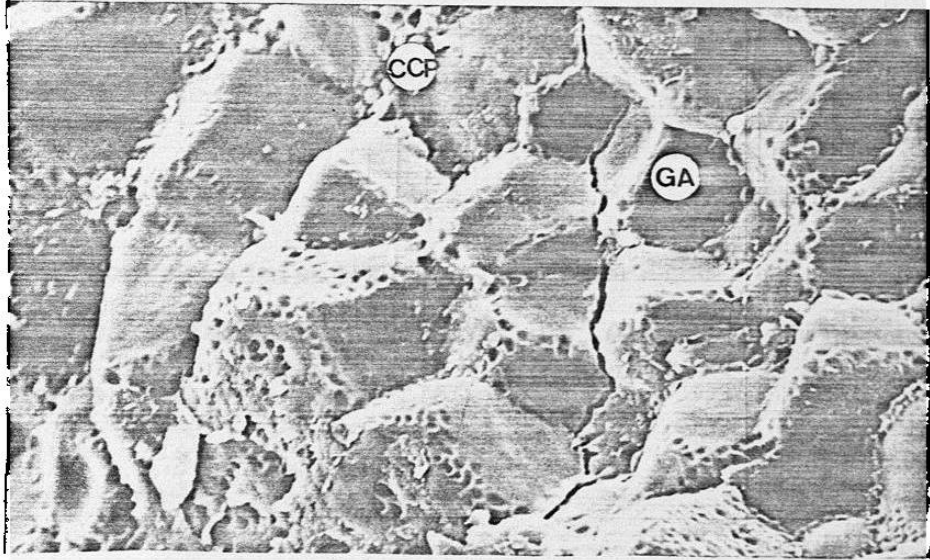


Figura 114.

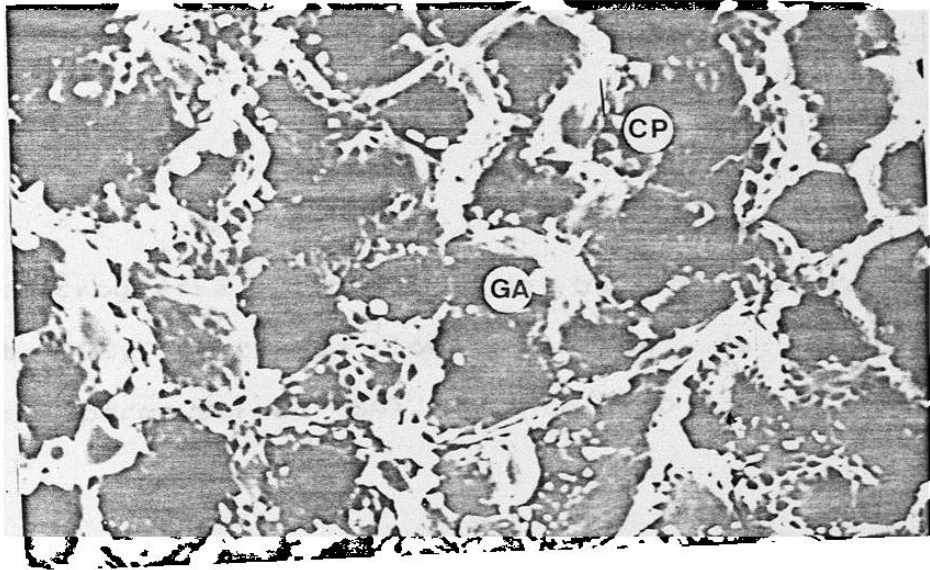


Figura 115.

Figura 116. Fotomicrografía electrónica de barrido de la variedad RB-3006, mostrando Gránulos de Almidón del Endospermo Córneo (GA). Aumento 2760 X.

Figura 117. Fotomicrografía electrónica de barrido de la variedad Rb-3030, mostrando los Gránulos de Almidón del Endospermo Córneo (GA). Aumento 2640 X.

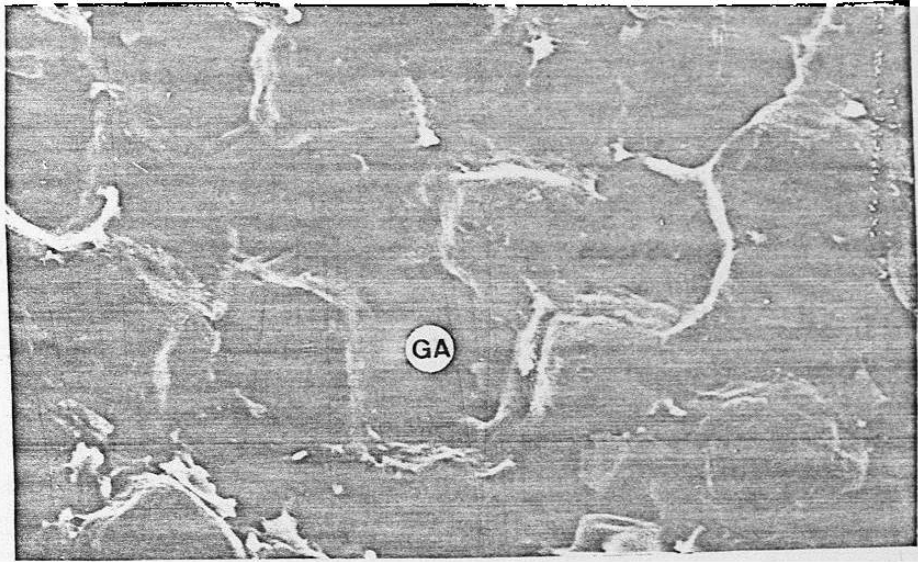


Figura 116.

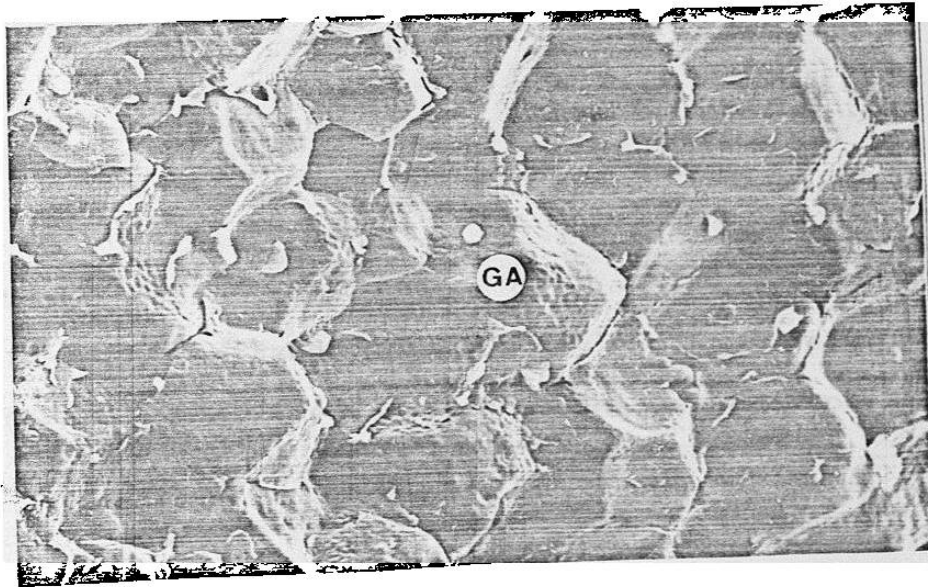


Figura 117.



Figura 118. Fotomicrografía electrónica de barrido de la variedad Te-y-75, mostrando Gránulos de Almidón del Endospermo Córneo y Cuerpos de Proteína del Endospermo Córneo (CP). Aumento 2640 X.

Figura 119. Fotomicrografía electrónica de barrido de la variedad Te-y-77, mostrando Gránulos de Almidón del Endospermo Córneo (GA) y Cuerpos de Proteína del Endospermo Córneo (CP). Aumento 2760 X.

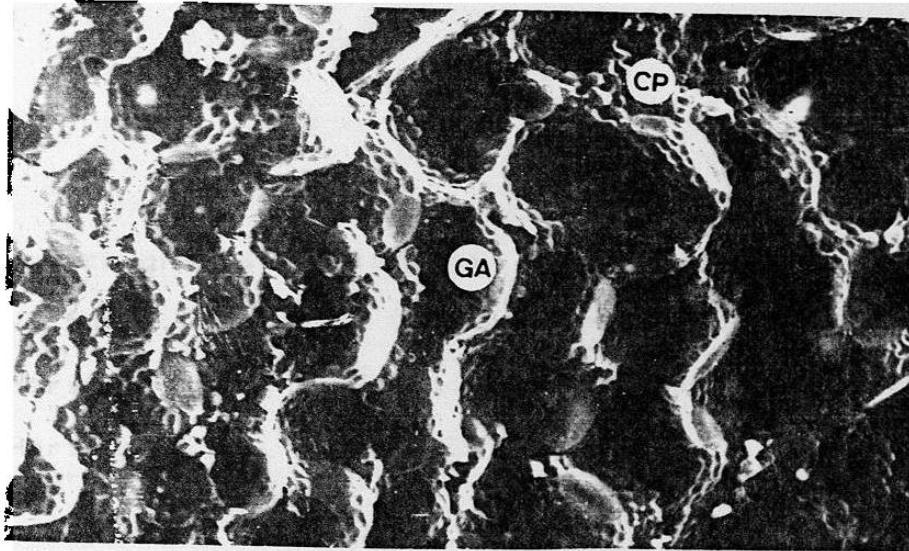


Figura 118.

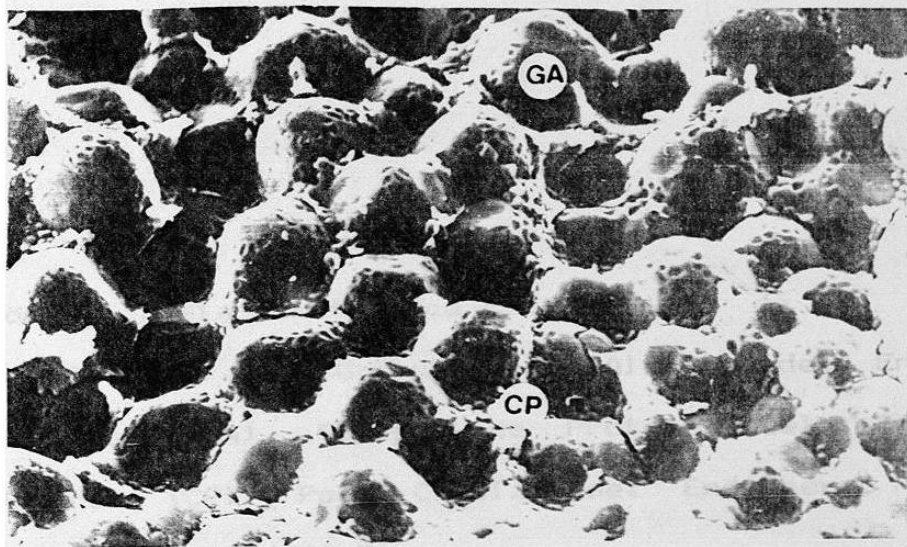


Figura 119.

Figura 120. Fotomicrografía electrónica de barrido de la variedad Victoria, mostrando Gránulos de Almidón del Endospermo Harinoso (GA) y Cuerpos de Proteína del Endospermo Harinoso (CP). Aumento 2640 X.

Figura 121. Fotomicrografía electrónica de barrido de la variedad BI-83, mostrando Gránulos de Almidón del Endospermo Harinoso (GA), Cuerpos de Proteína del Endospermo Harinoso (CP) y Pared Celular del Endospermo Harinoso (PC). Aumento 2760 X.

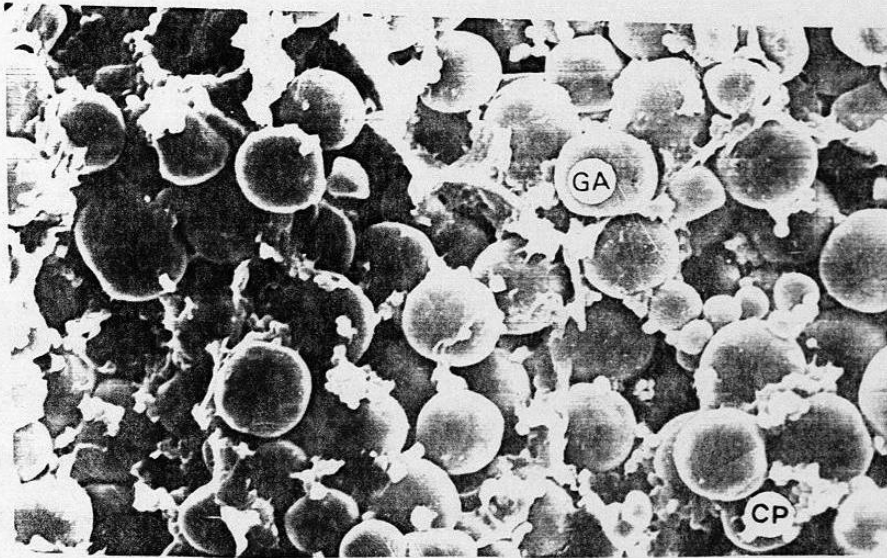


Figura 120.

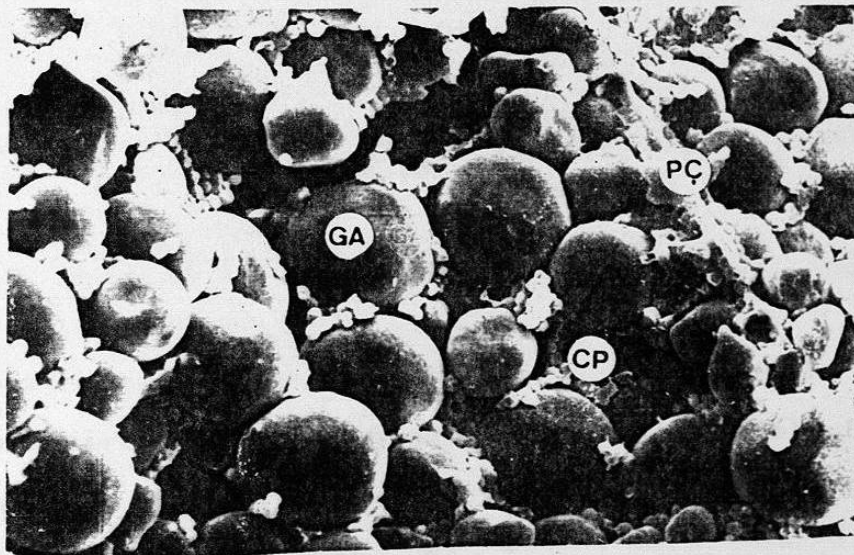


Figura 121.

Figura 122. Fotomicrografía electrónica de barrido de la variedad Te-y-101-R, mostrando Gránulos de Almidón del Endospermo Harinoso (GA) y Pared de las Células del Endospermo Harinoso (PC). Aumento 2760 X.

4

Figura 123. Fotomicrografía electrónica de barrido de la variedad Te-dinero, mostrando Gránulos de Almidón del Endospermo Harinoso (GA), y Cuerpos de Proteína del Endospermo Harinoso (CP). Aumento 2640 X.

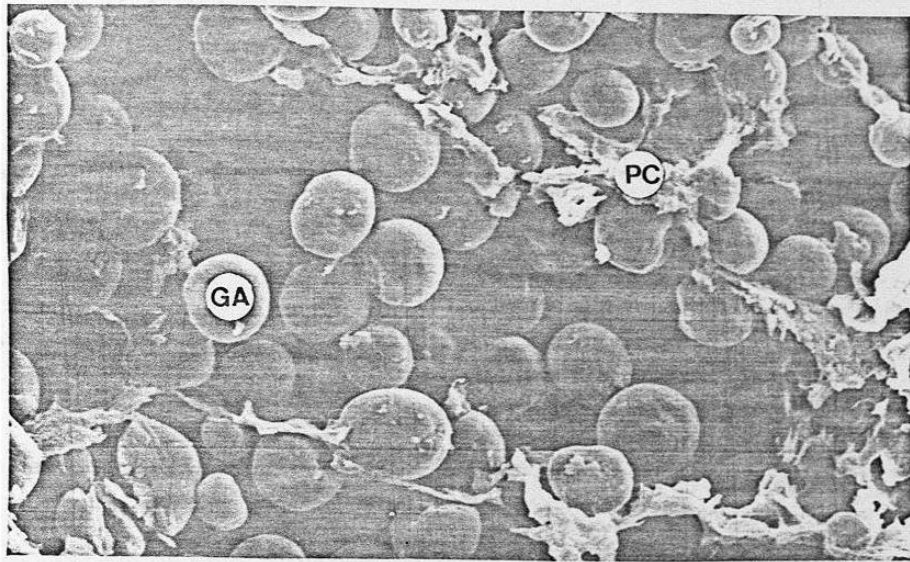


Figura 122.

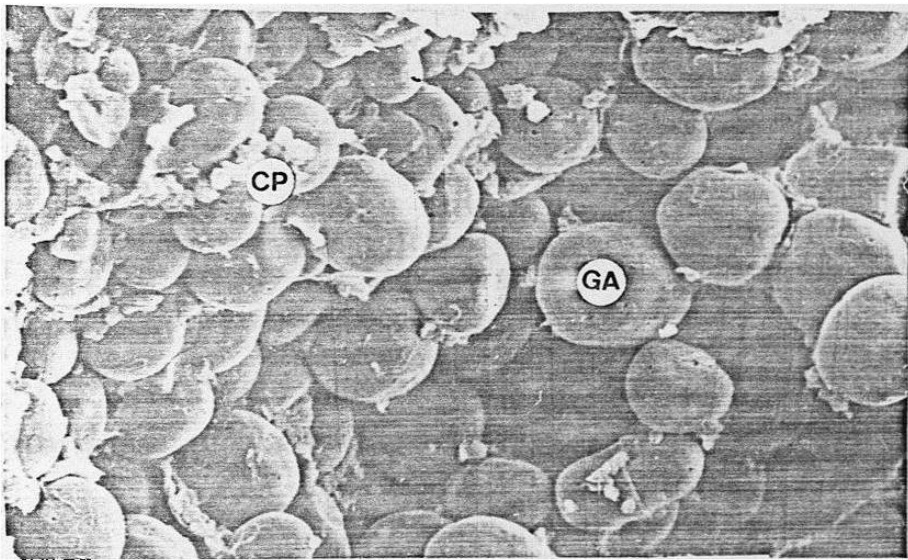


Figura 123.

Figura 124. Fotomicrografía electrónica de barrido de la variedad Gold-R, mostrando Gránulos de Almidón del Endospermo Harinoso (GA). Aumento 2640 X.

3.

Figura 125. Fotomicrografía electrónica de barrido de la variedad 911-R, mostrando Gránulos de Almidón del Endospermo Harinoso (GA). Aumento 2760 X.

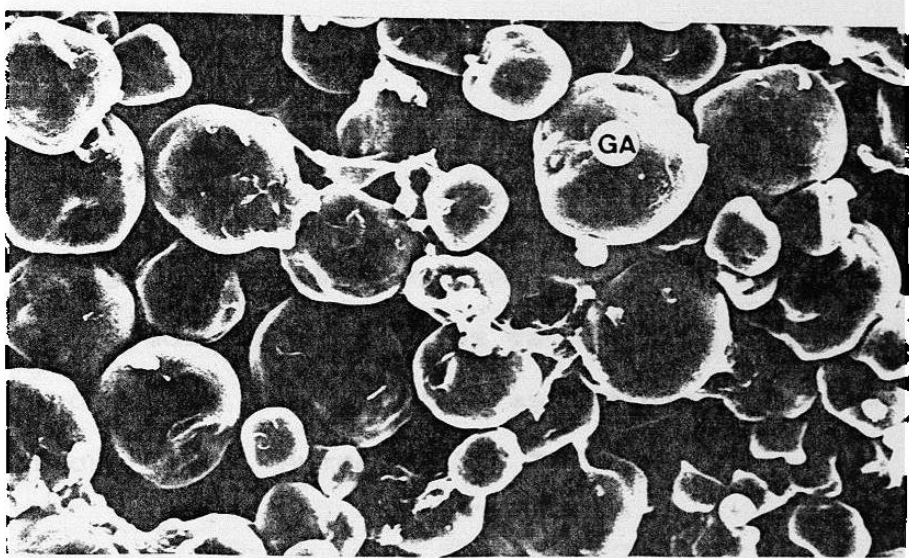


Figura 124.

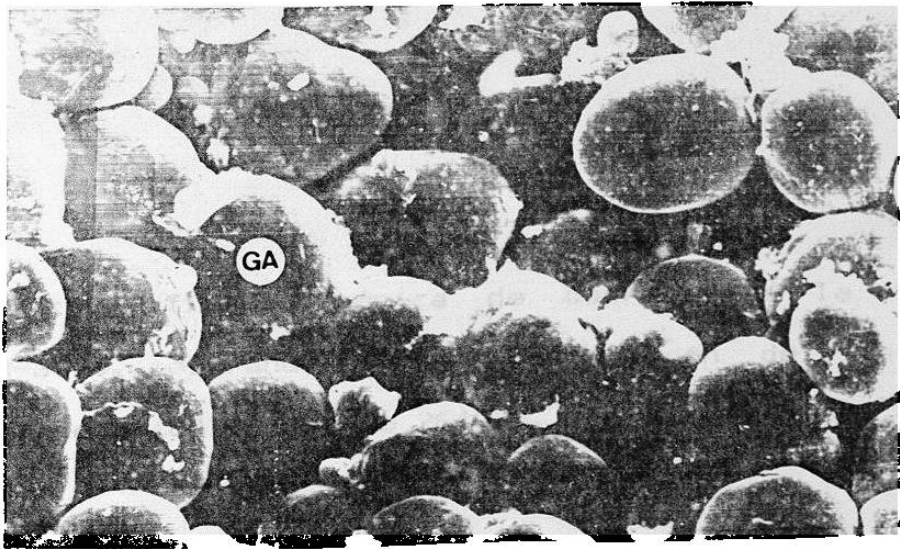


Figura 125.



Figura 126. Fotomicrografía electrónica de barrido de la variedad RB-3006, mostrando Gránulos de Almidón del Endospermo Harinoso (GA) y Pared de las Células del Endospermo Harinoso (PC). Aumento 2760 X.

Figura 127. Fotomicrografía electrónica de barrido de la variedad RB-3030, mostrando Gránulos de Almidón del Endospermo Harinoso (GA). Aumento 2640 X.

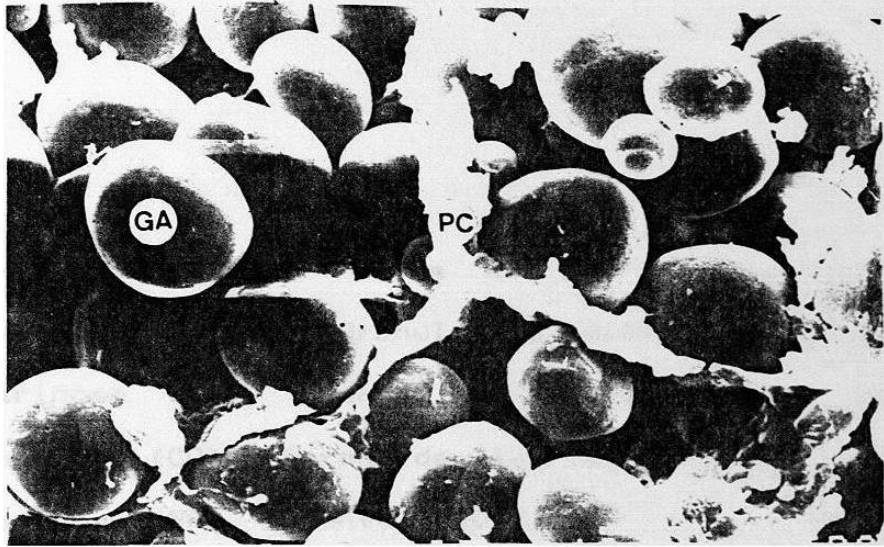


Figura 126.

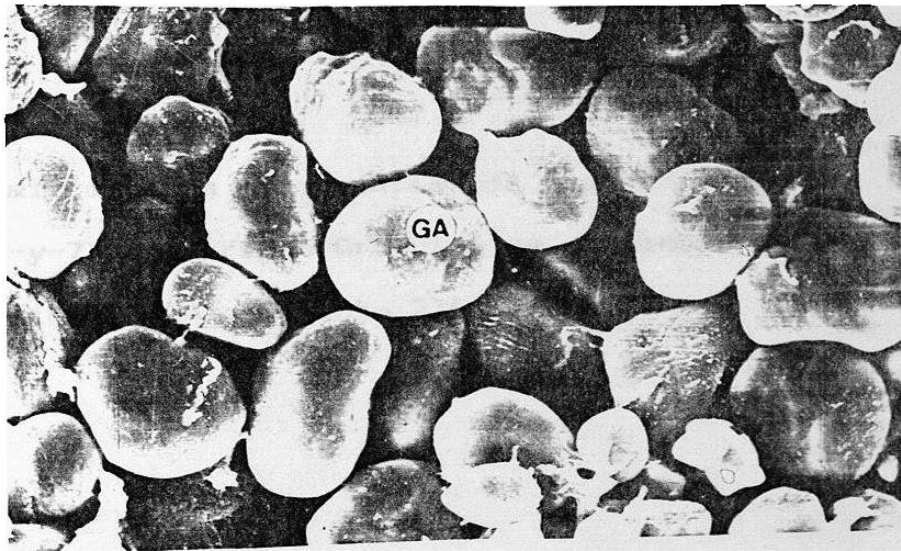


Figura 127.

Figura 128. Fotomicrografía electrónica de barrido de la variedad Te-y-75, mostrando Gránulos de Almidón del Endospermo Harinoso (GA), Cuerpos de Proteína del Endospermo Harinoso (CP) y Pared de las Células del Endospermo Harinoso (PC). Aumento 2640 X.

Figura 129. Fotomicrografía electrónica de barrido de la variedad Te-y-77, mostrando Gránulos de Almidón del Endospermo Harinoso (GA). Aumento 2760 X.

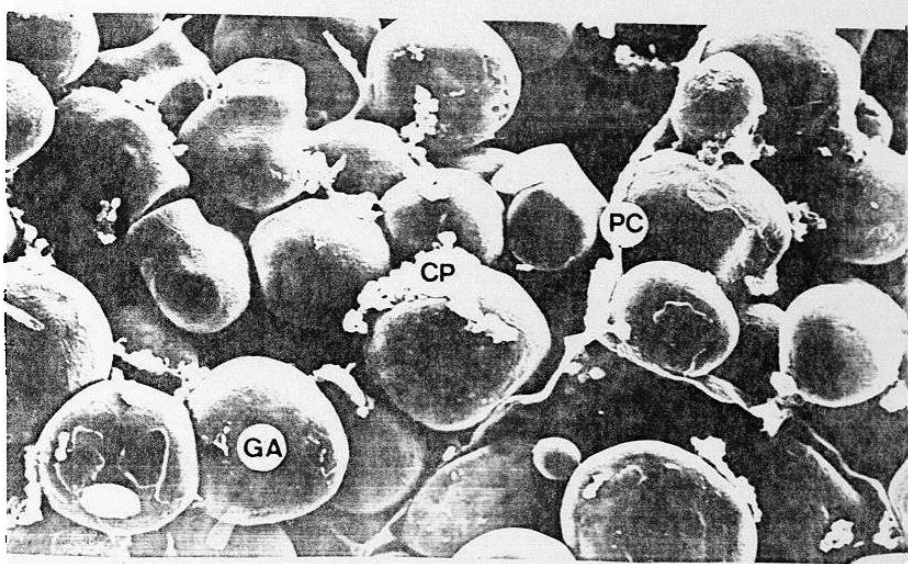


Figura 128.

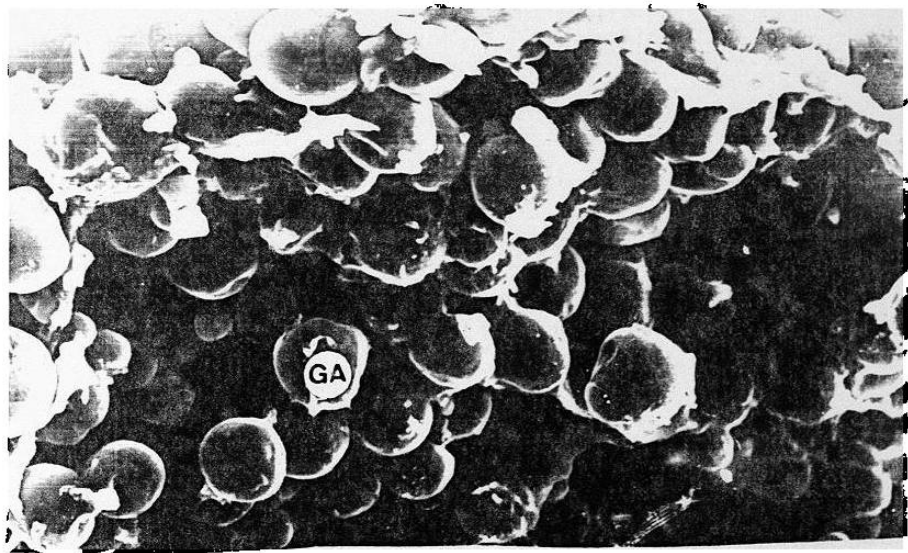


Figura 129.

